

Badanie wycinka mięśniowego w mikroskopie świetlnym i elektronowym

Nr:32/12

Imię i nazwisko:

Wiek:40

Rozpoznanie: w kierunku dystrofii Beckera?

Data pobrania wycinka:21 V 2012r.

Mięsień: quadriceps sin.

W pobranym wycinku większość włókien mięśniowych wykazuje prawidłową średnicę i strukturę .Wśród nich rozrzucone nieregularnie pojedyncze lub w małych grupkach włókna wyraźnie mniejsze .W preparacie widoczne są także pojedyncze włókna rozpadające się bez towarzyszenia komórek immunologicznie kompetentnych .Podział włókien na typy metaboliczne zachowany z wyraźną przewagą włókien typu 2.

Wnioski: cechy uszkodzenia pierwotnie mięśniowego wymagają dalszej oceny w M-E.

Analiza ultrastrukturalna wykazała prawidłową architekturę miofibrilli i jąder komórek mięśniowych na uwagę zasługuje obecność pojedynczych nieprawidłowych mitochondriów z masywnymi krystalicznymi wtrętami zjawisko to jest widoczne w bardzo małym procencie włókien i dotyczy pojedynczych mitochondriów jest prawdopodobnie wyrazem defektu metabolicznego.

Prof. dr hab. A. Fidziańska - Dolot

Przypadek 32/12 (37/12 ME)

Rozpoznanie: Dystrofia Beckera do potwierdzenia lub wykluczenia

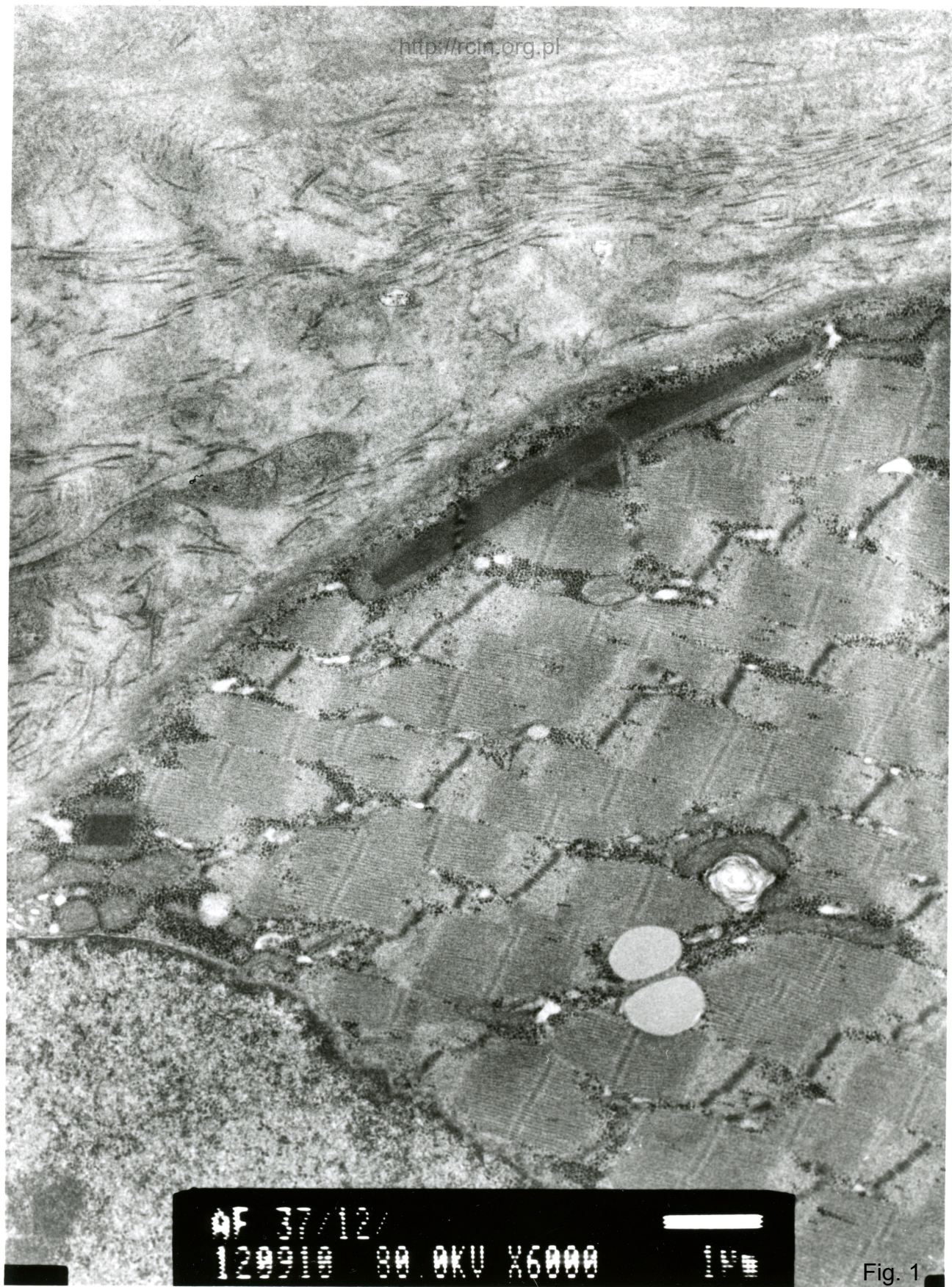
Fig. 1-7. Obserwuje się włókna o prawidłowej architekturze i typowych, podbłonowo położonych jądrach. Widoczne są pojedyncze nieprawidłowe mitochondria, zawierające krystaliczne wtręty oraz nieliczne krople tłuszczu.

Summary

A 40-year-old patient with suspected Becker dystrophy was examined. A biopsy of quadriceps sinister was performed.

Electronmicroscopy analysis revealed muscle fibers of normal architecture and morphologically unchanged, located submembranously nuclei. Single significantly altered, containing crystalline inclusions mitochondria were observed. Few fat droplets were seen (Fig. 1-7).

Changes within the mitochondria suggest metabolic defect.



BF 27/12/
1290100 80.0KV X6000

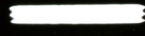
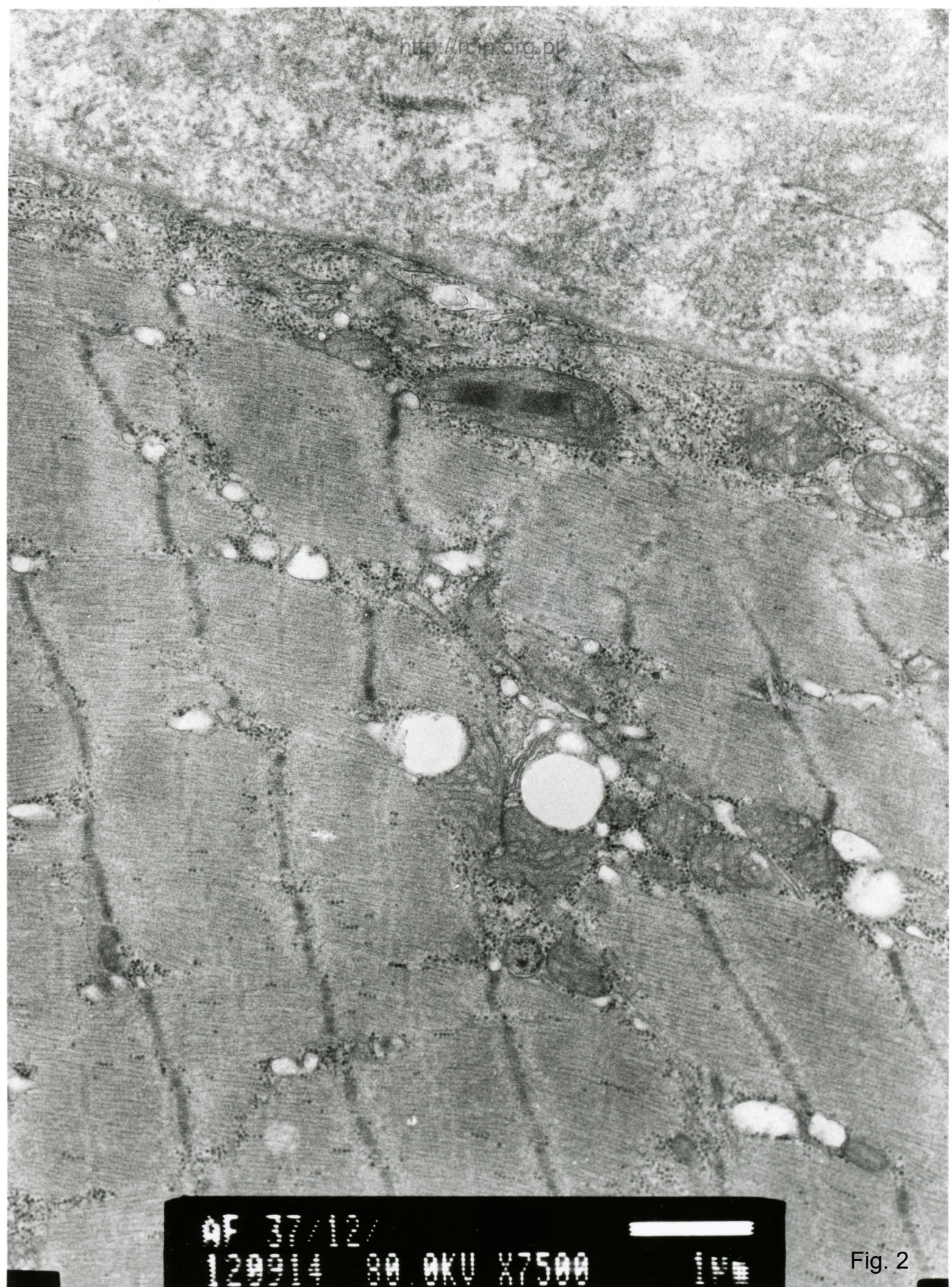


Fig. 1



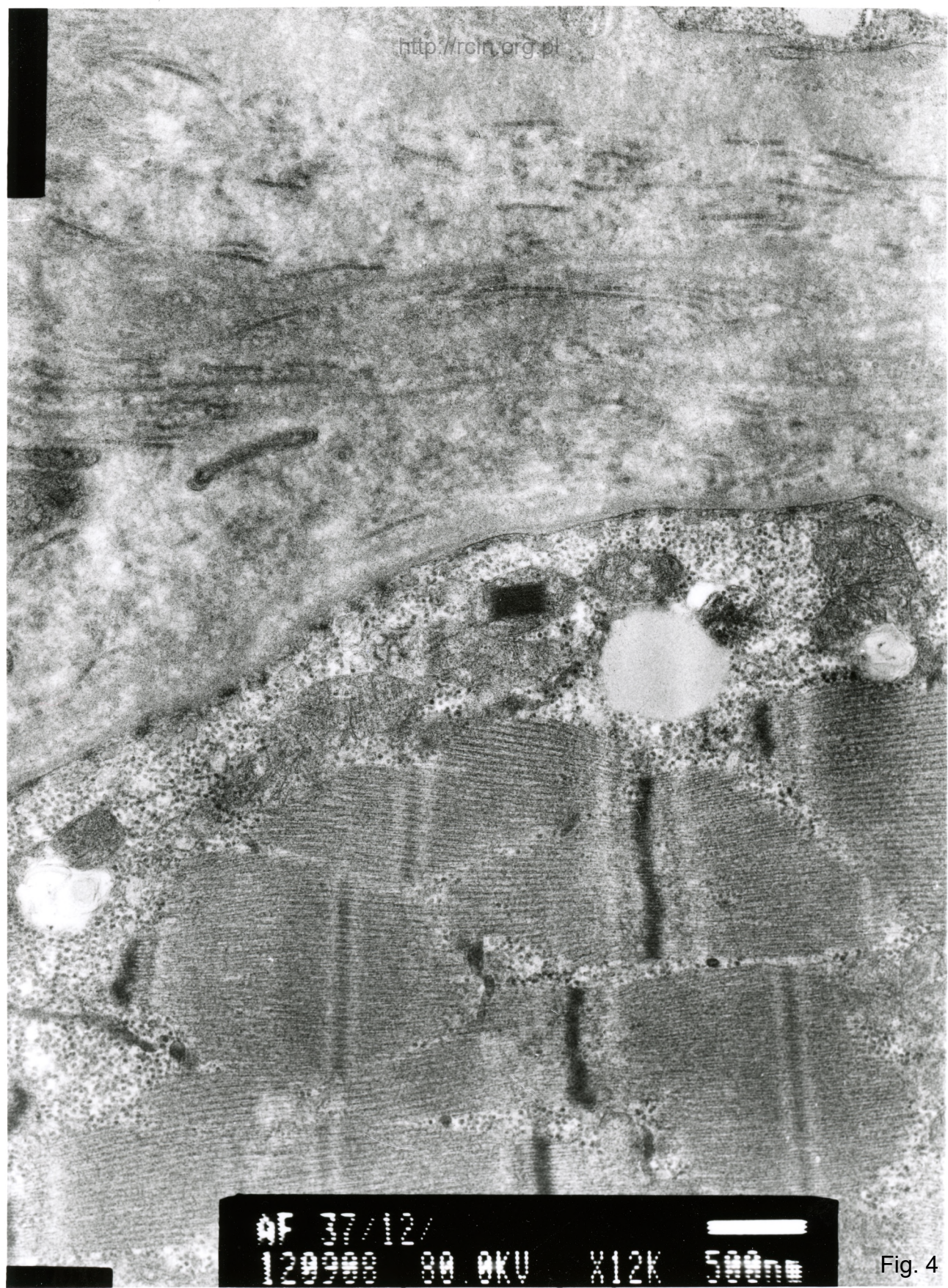
BF 37/12/
129004 80 OKU X7500

Fig. 2



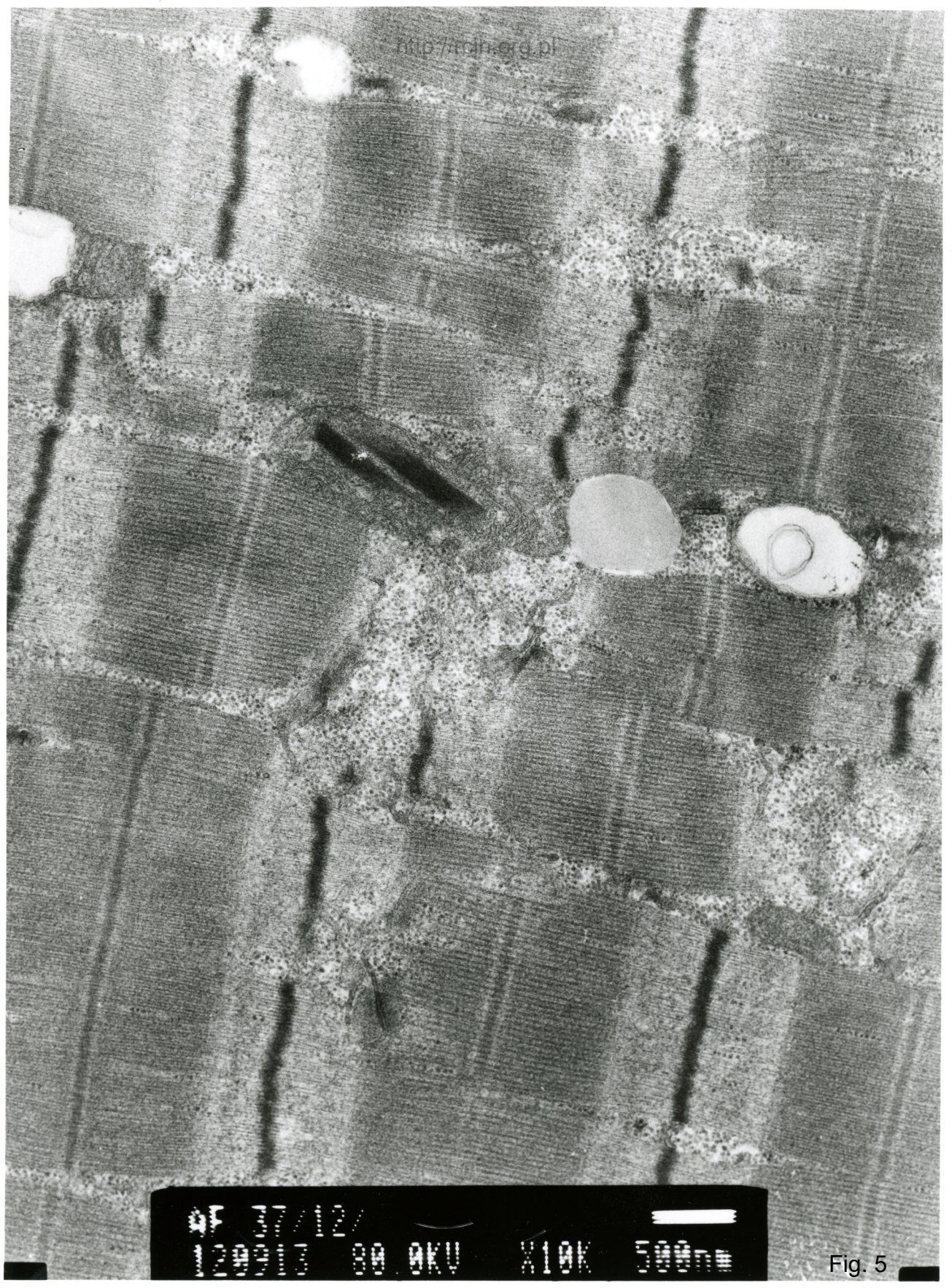
AF 37/12/
120005 89 9KV X10K 500nm

Fig. 3



BF 37/12/
129900 80.0KV X12K 500nm

Fig. 4



4F 27/12/ 129003 80.0KV X10K 500nm

Fig. 5

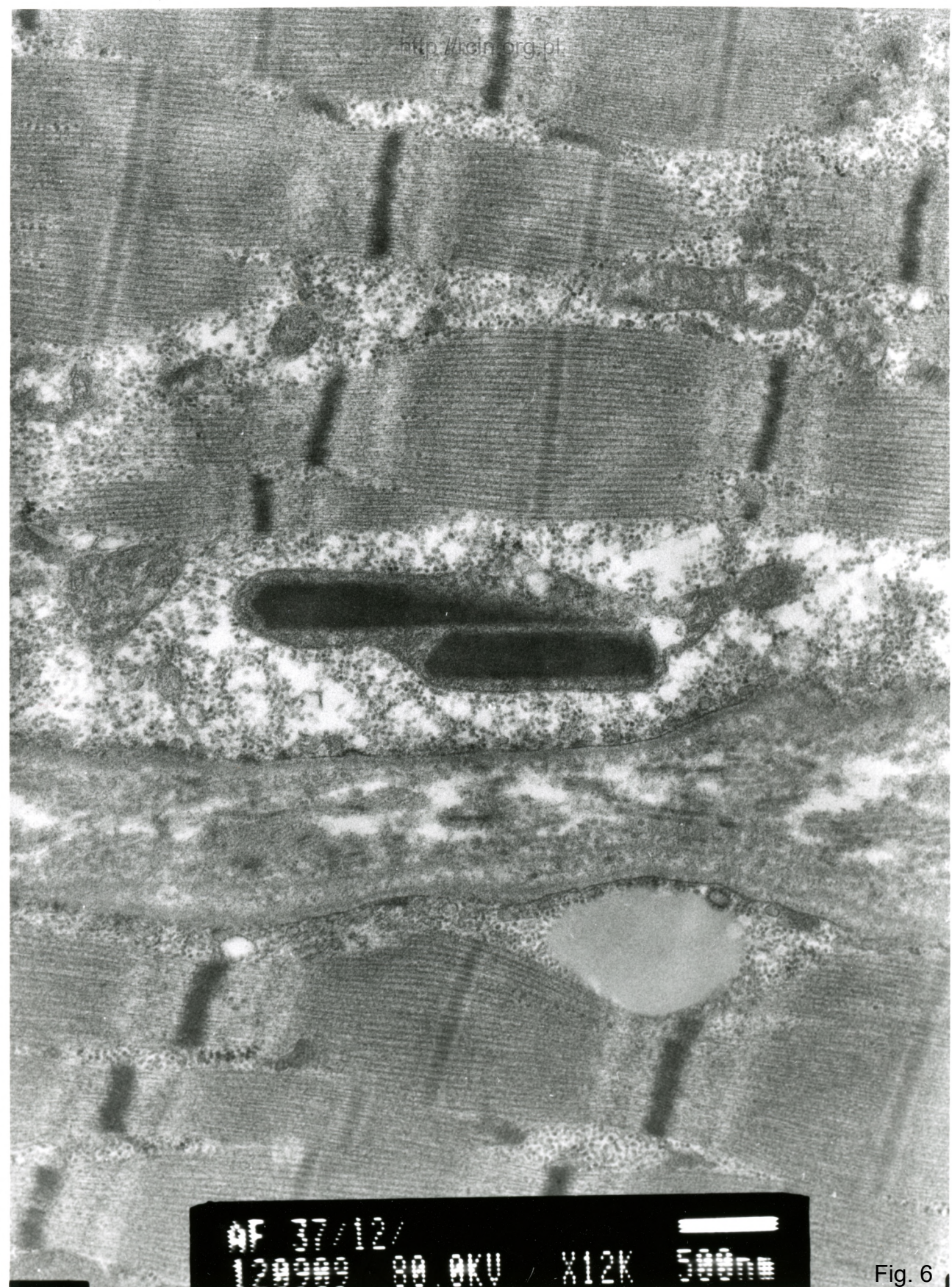
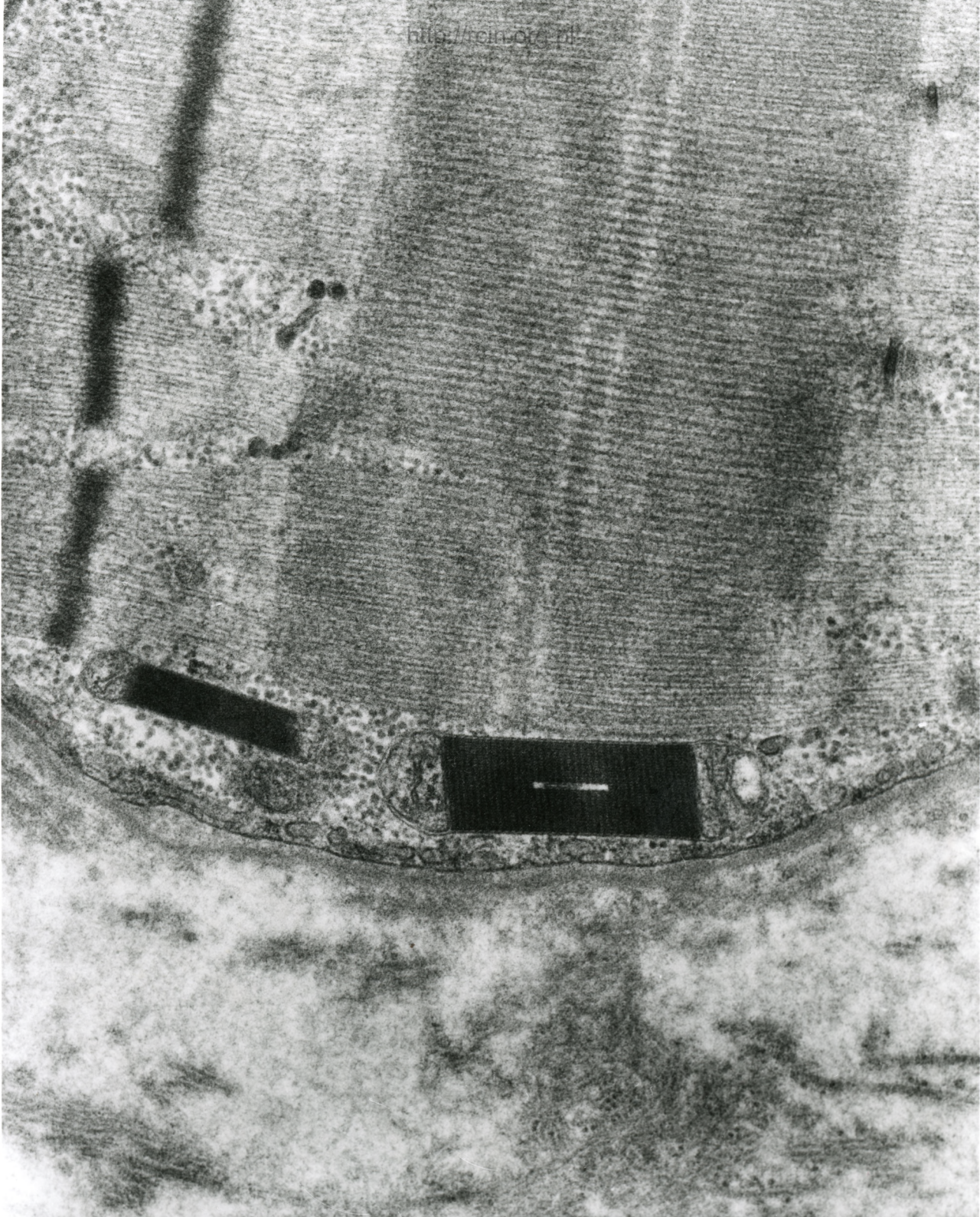


Fig. 6



47
1997/12
30 0KV X20K 200nm

Fig. 7